レーダー計測による対馬海峡の潮流と M₂ 潮流振幅の季節変動

〇奥野 章·吉川 裕·増田 章·丸林 賢次·石橋 道芳(九大応力研) 遥山 誠(九大総理工)

告知: 九大レーダー Web ページ

http://le-web.riam.kyushu-u.ac.jp/radar/

話の流れ

対馬海峡の基本潮流2002年, 2003年のレーダー観測結果にもとづき対馬海峡の基本潮流を求める ⇒他の結果と比較

■ M₂ 潮流振幅に季節変動がみられるか? M₂ 潮位振幅には季節変動がみられる

対馬海峡表層海況監視海洋レーダーシステム

2002年2月の本格運用開始以降、対馬海峡表層海況の長期監視を実施中



対馬海峡の基本潮流

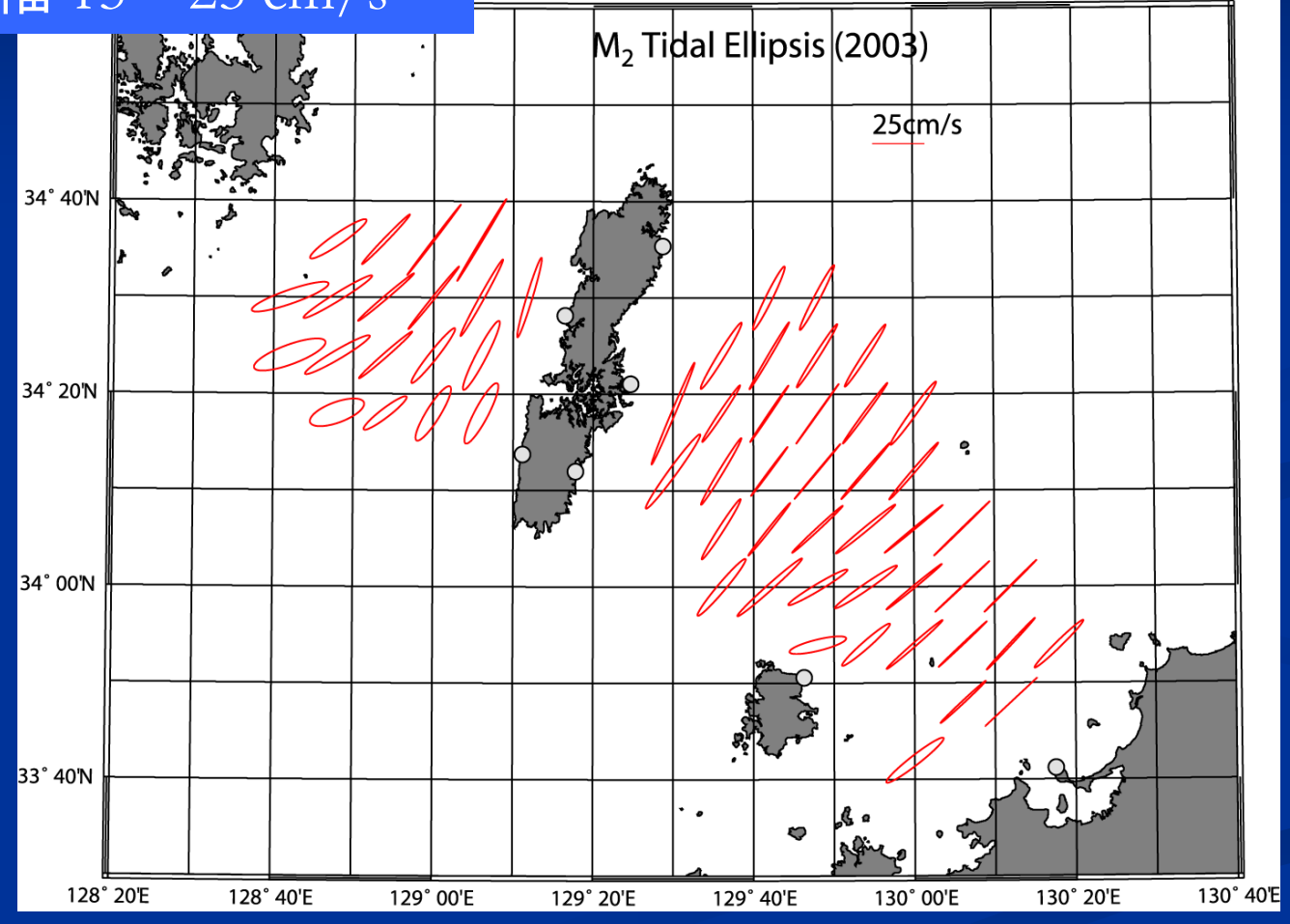
- 2002 年, 2003 年に分けて解析
- 2002 年の解析: 2002 年 2 月 ~ 2003 年 1 月の 1 年分
- 2003 年の解析:2003 年 1 月 ~ 2003 年 12 月の 1 年分
- 60 分潮を用いて調和解析 ⇒ 潮流楕円をもとめる

解析手順

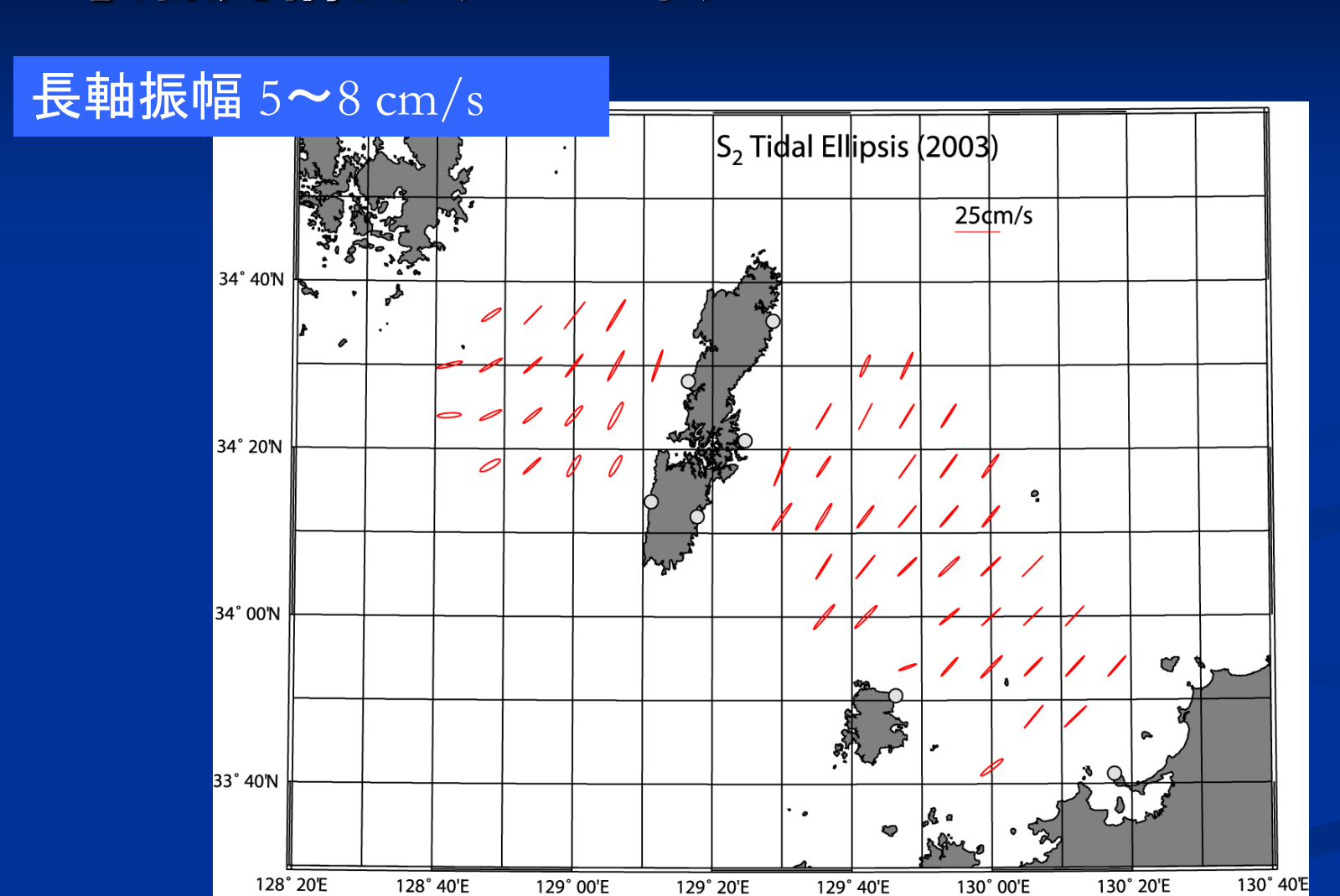
- 1. レーダー計測点ごとに視線方向流速を時系列化
- 2. 視線方向流速時系列を調和解析
- 3. 内挿により調和定数を格子点上に配置
- 4. 潮流楕円を算定

M₂ 潮流楕円 (2003 年)

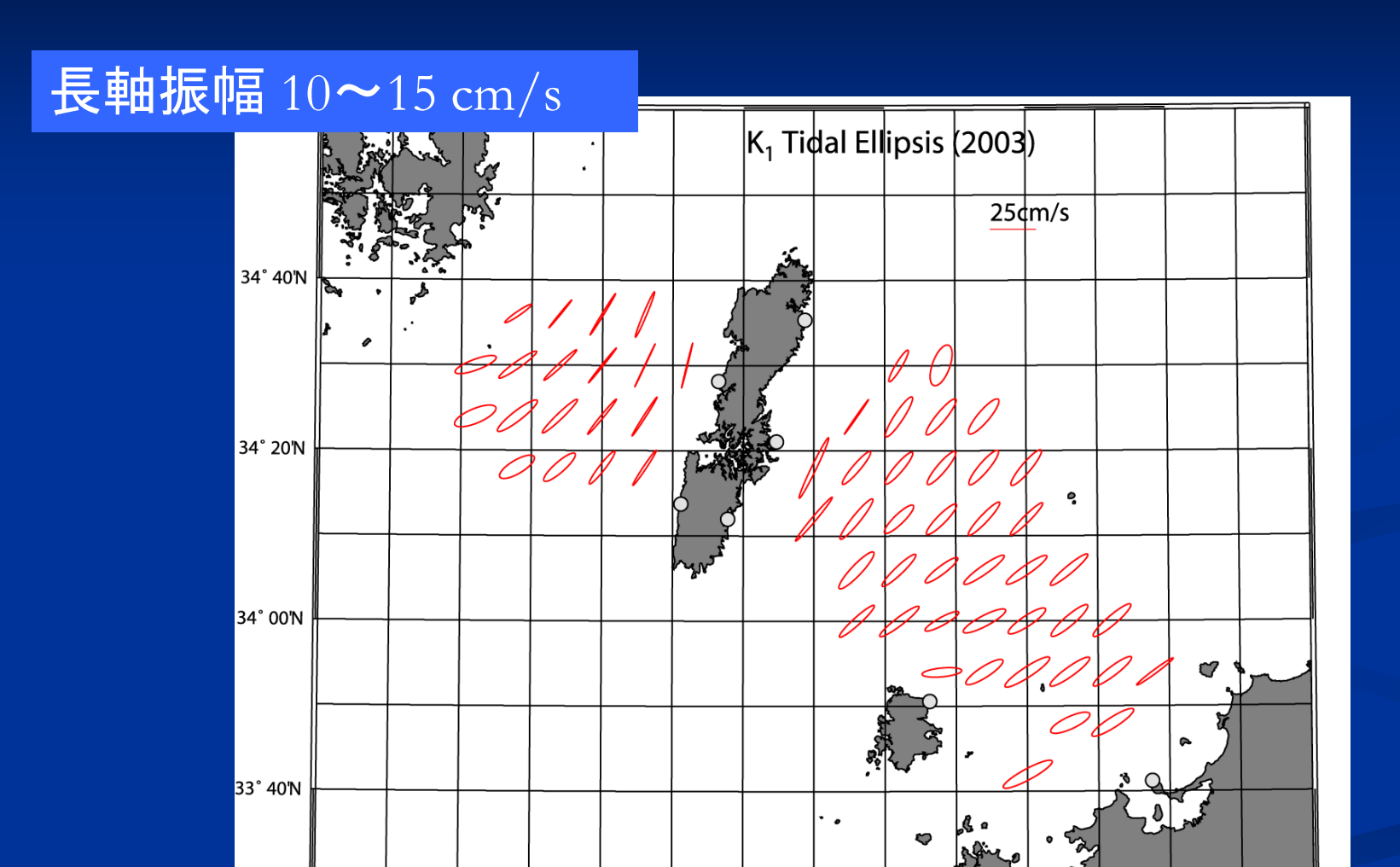




S₂ 潮流楕円 (2003年)



K₁ 潮流楕円 (2003 年)



129° 40'E

130° 00'E

129° 20'E

128° 20E

128° 40'E

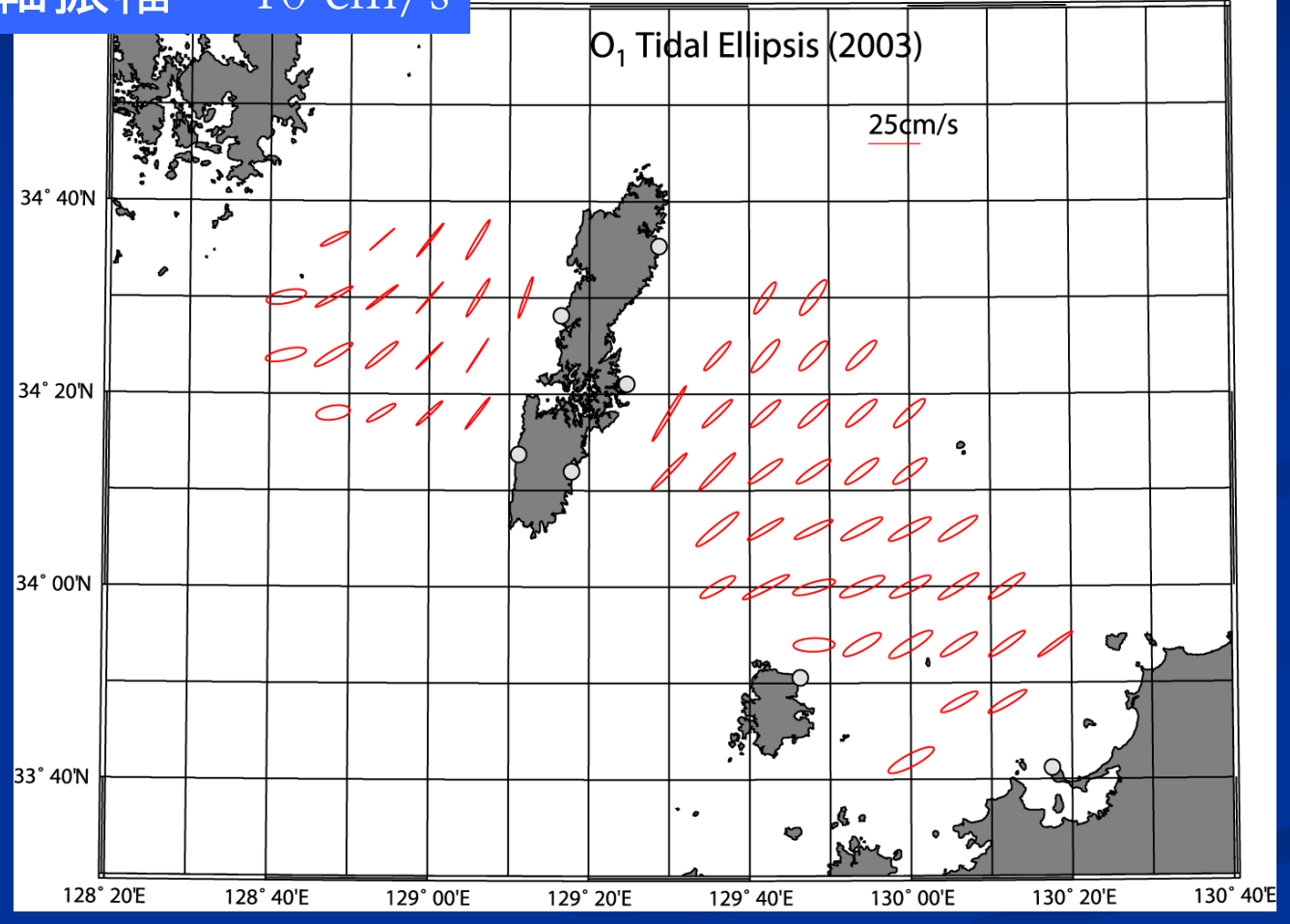
129° 00'E

130° 20'E

130° 40E

O₁ 潮流楕円 (2003 年)

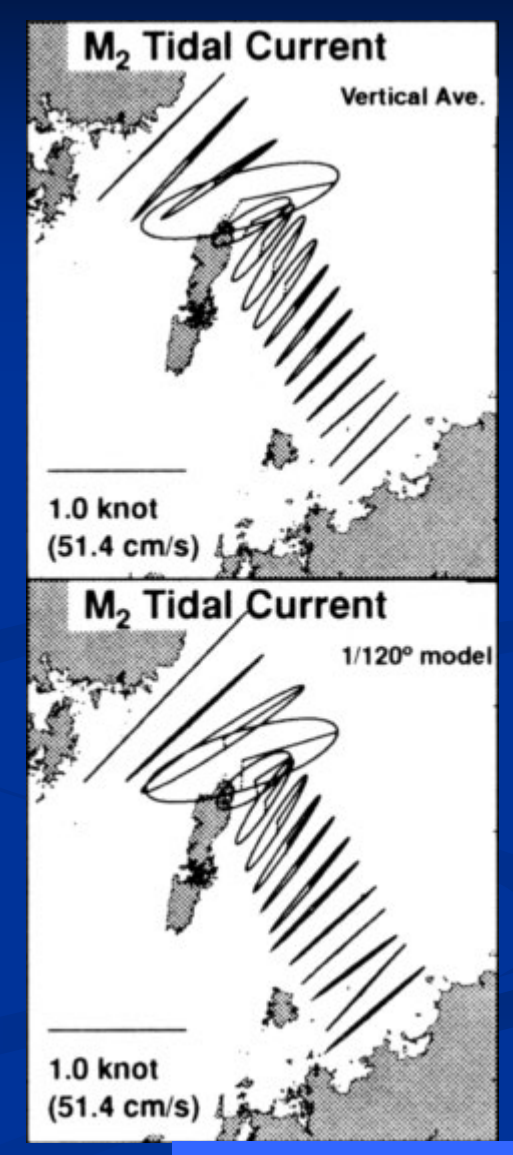




他の結果との比較: M2

平均長軸振幅 17.2 cm/s 平均長軸方位 41.4° 34° 20'N 34° 00'N

Takikawa et al. (2003) 定期客船 ADCP



130° 20'E

130° 40'E

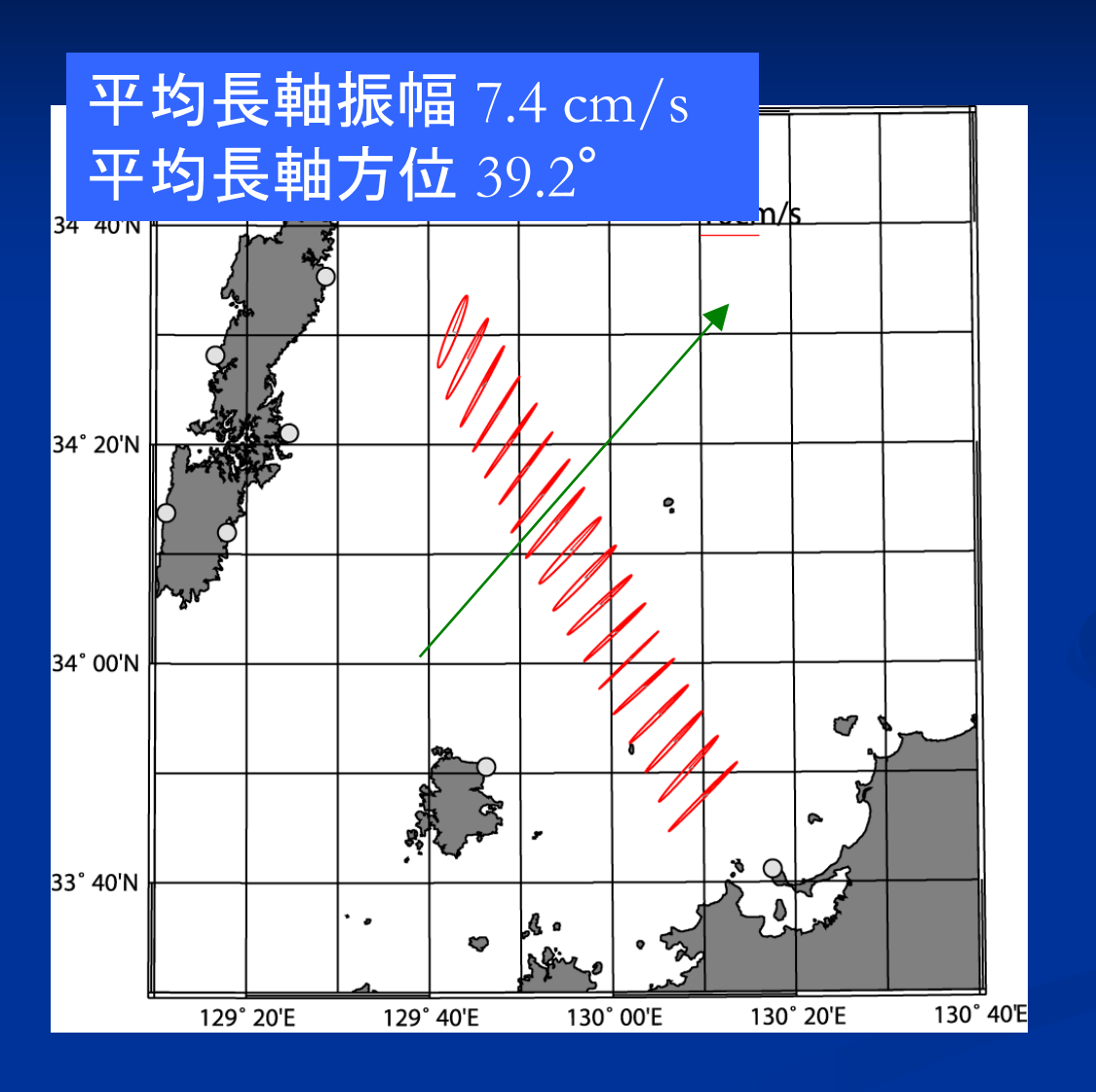
129° 20'E

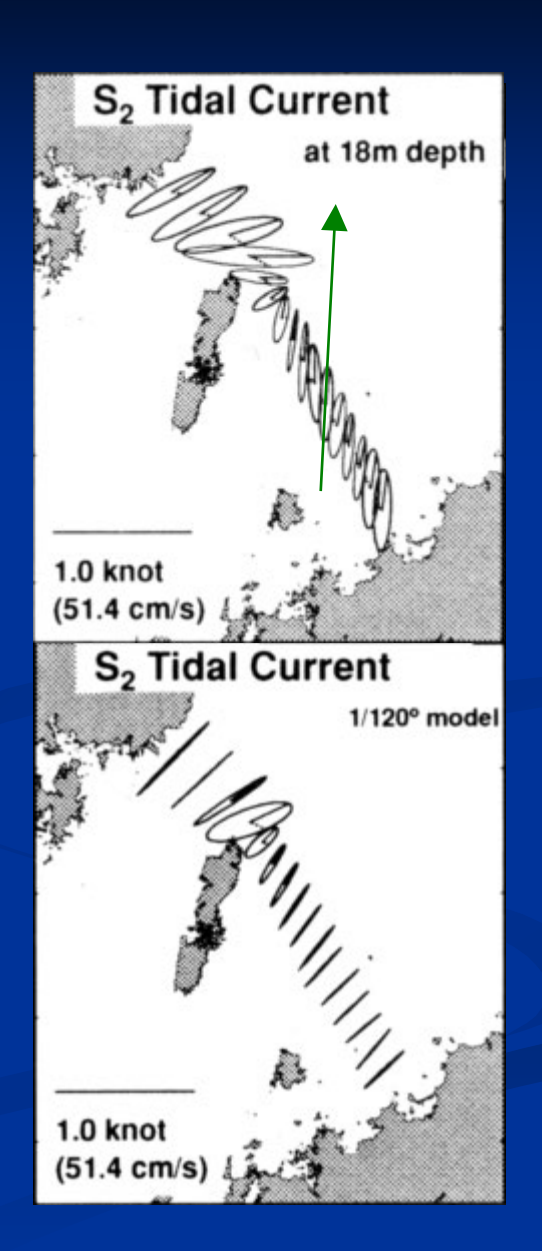
129° 40'E

130° 00'E

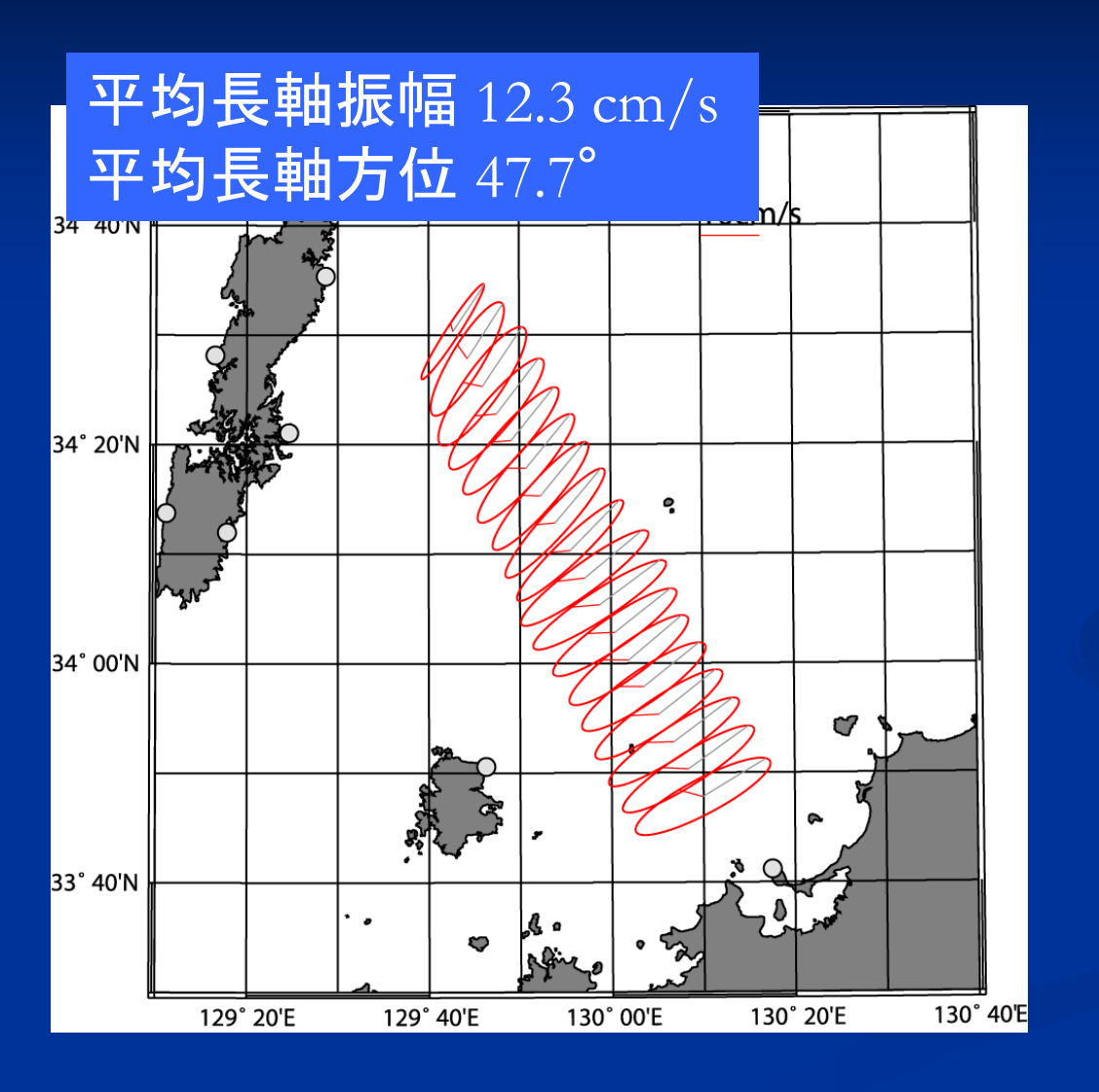
33° 40'N

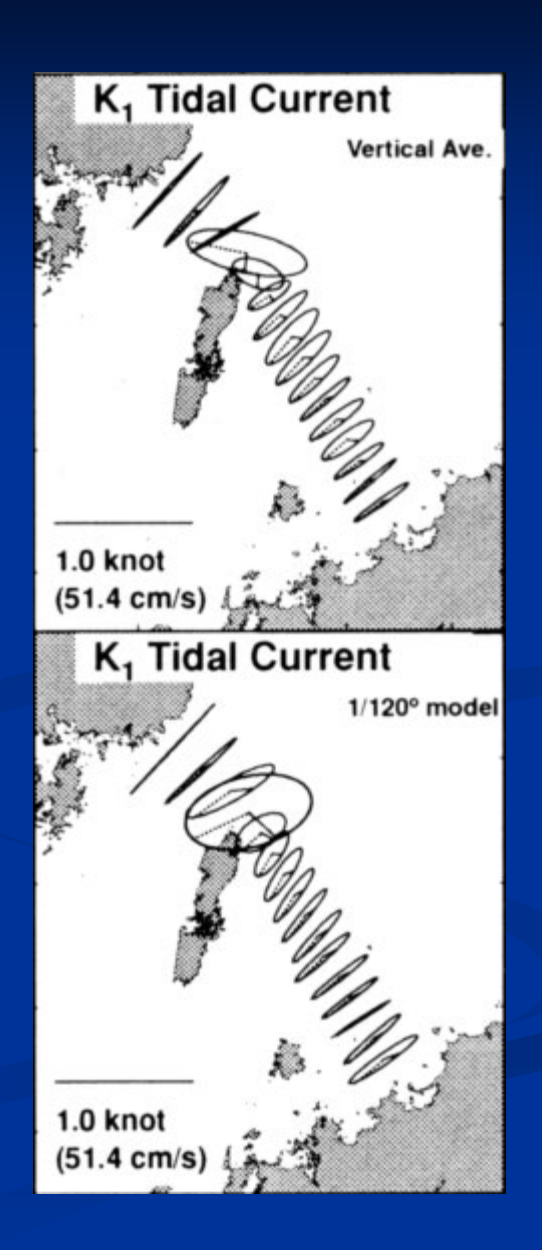
他の結果との比較: S2



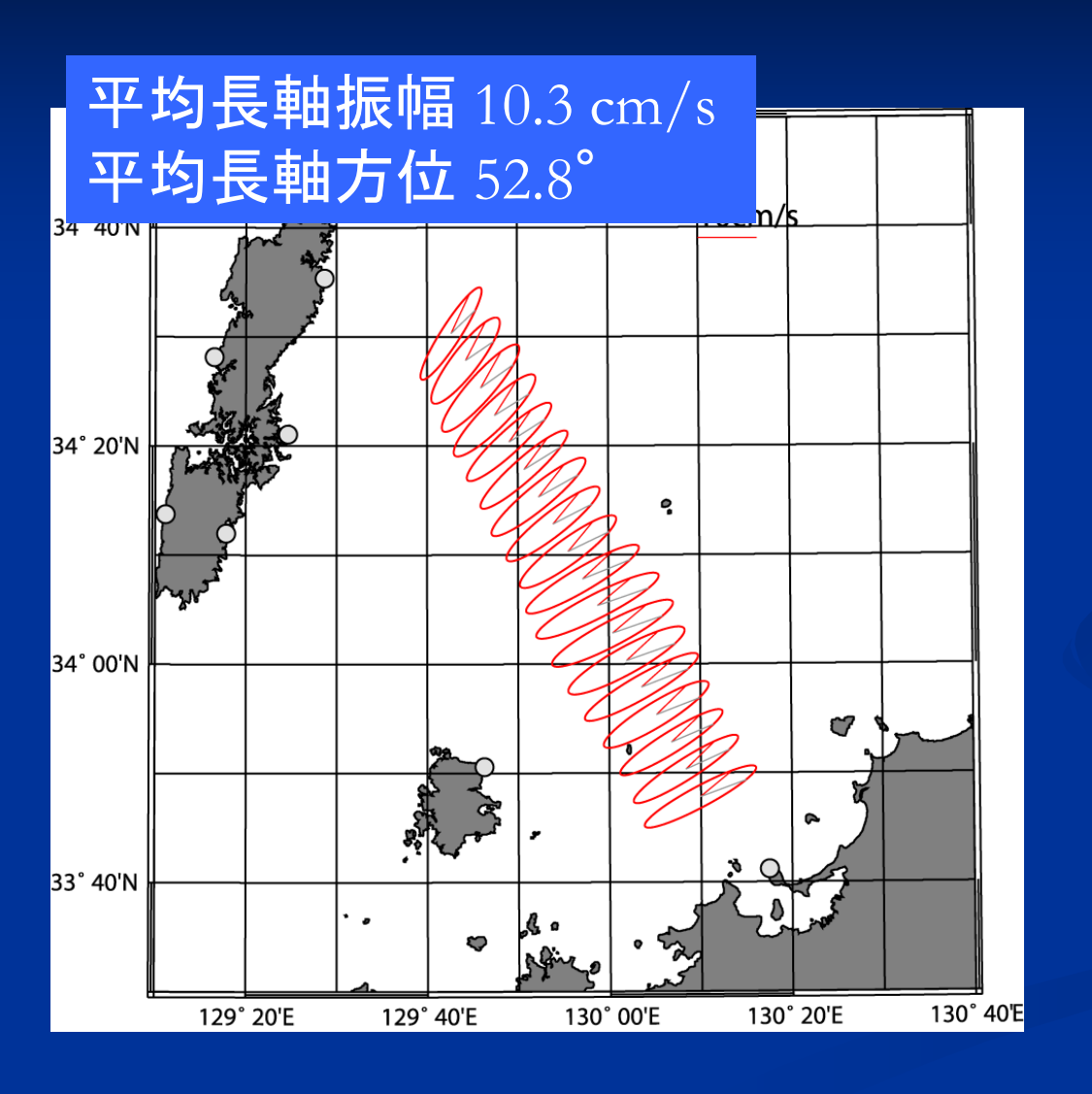


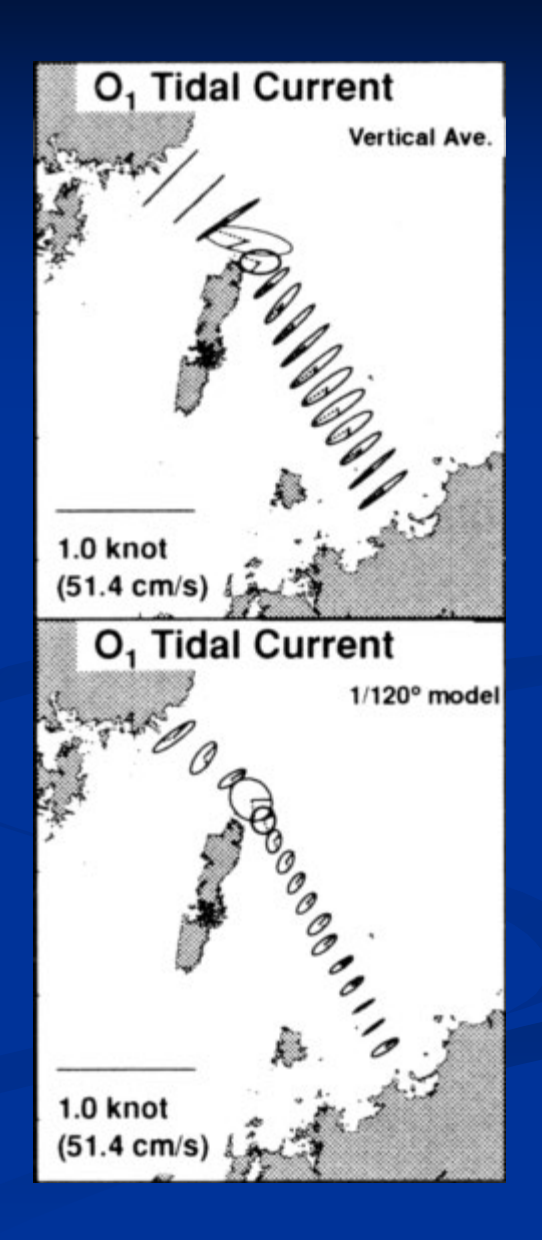
他の結果との比較: K₁





他の結果との比較: O₁





まとめ: 基本潮流パターン

- レーダー観測の結果 2002 年, 2003 年の潮流は同等 主要 4 分潮が卓越(M₂, K₁, O₁, S₂)
- レーダー観測を定期航路 ADCP 数値計算と比較 M₂ は三者でよく一致 S₂ はレーダーとモデルが一致 (ADCP の長軸方位?)
 〇1 の位相が三者でそれぞれ異なる レーダーの日周潮の位相?

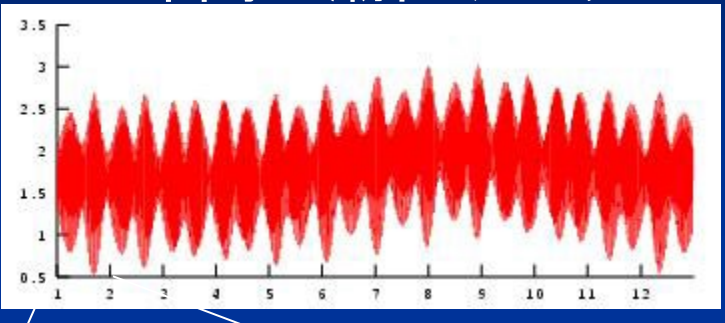
M2 潮流振幅の季節変動

Kang et al. (1995)対馬海峡・朝鮮半島沿岸域でM2 潮位振幅に1年周期の季節変動

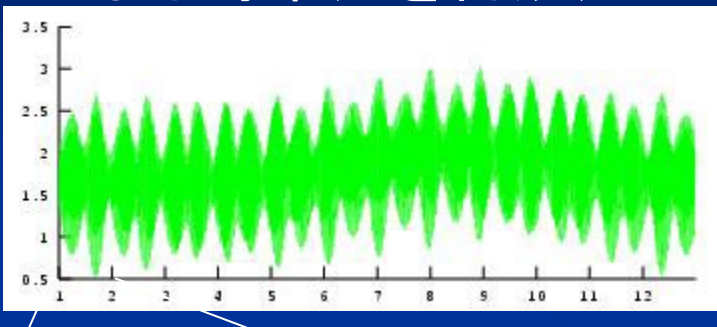
■ 選山ほか(2004) 日本沿岸で M2 潮位振幅に 1 年周期の季節変動 変動特性による海域区分

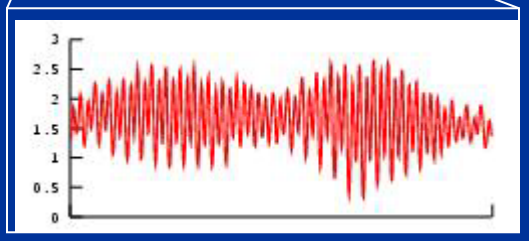
季節変動の抽出方法

1年間の潮位データ



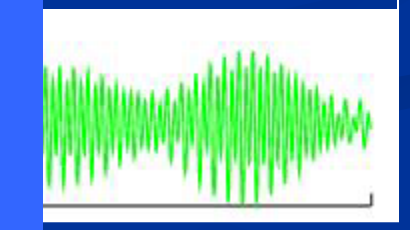
60分潮で 調和分解 1年間の潮位データ (60の潮汐成分から なる時系列を合成)





季節変動割合

 $\overline{\mathbf{A}_{\mathrm{sm}}/\mathbf{A}} \times 100$ %





23分潮で調和解析

 $\mathbf{OBS} = (\overline{\mathbf{A}} + \mathbf{A}_{\mathbf{sm}}) + \mathbf{A}'$

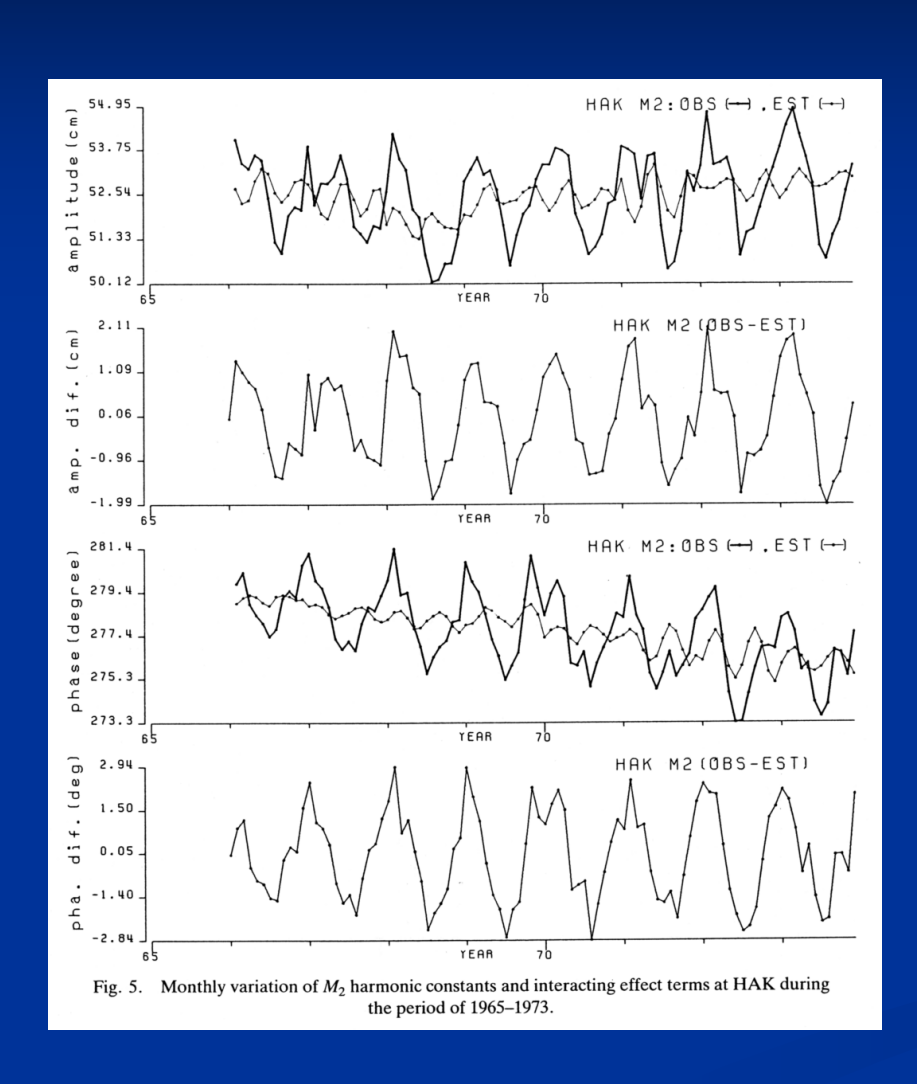


23分潮で調和解析

$$EST = \overline{A}$$

 $A_{sm} = RES \equiv OBS - EST$

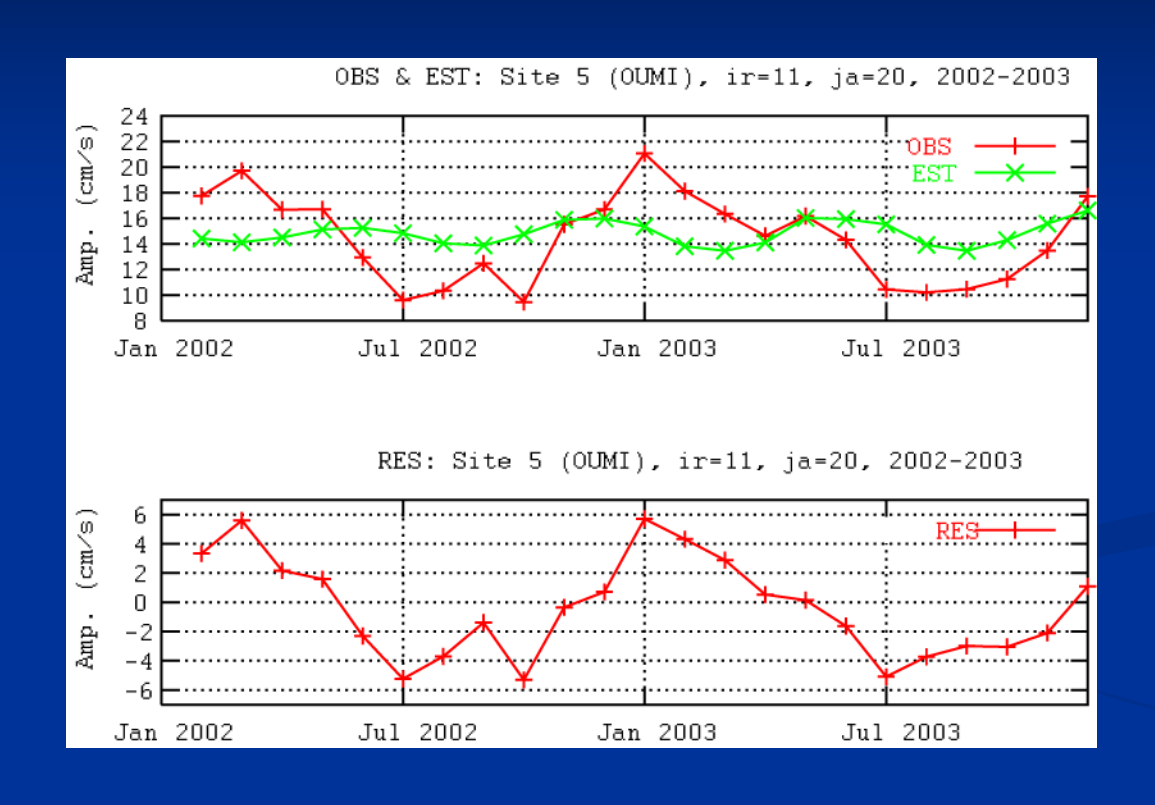
M2 潮位季節変動の一例 (Kang et al. 1995)



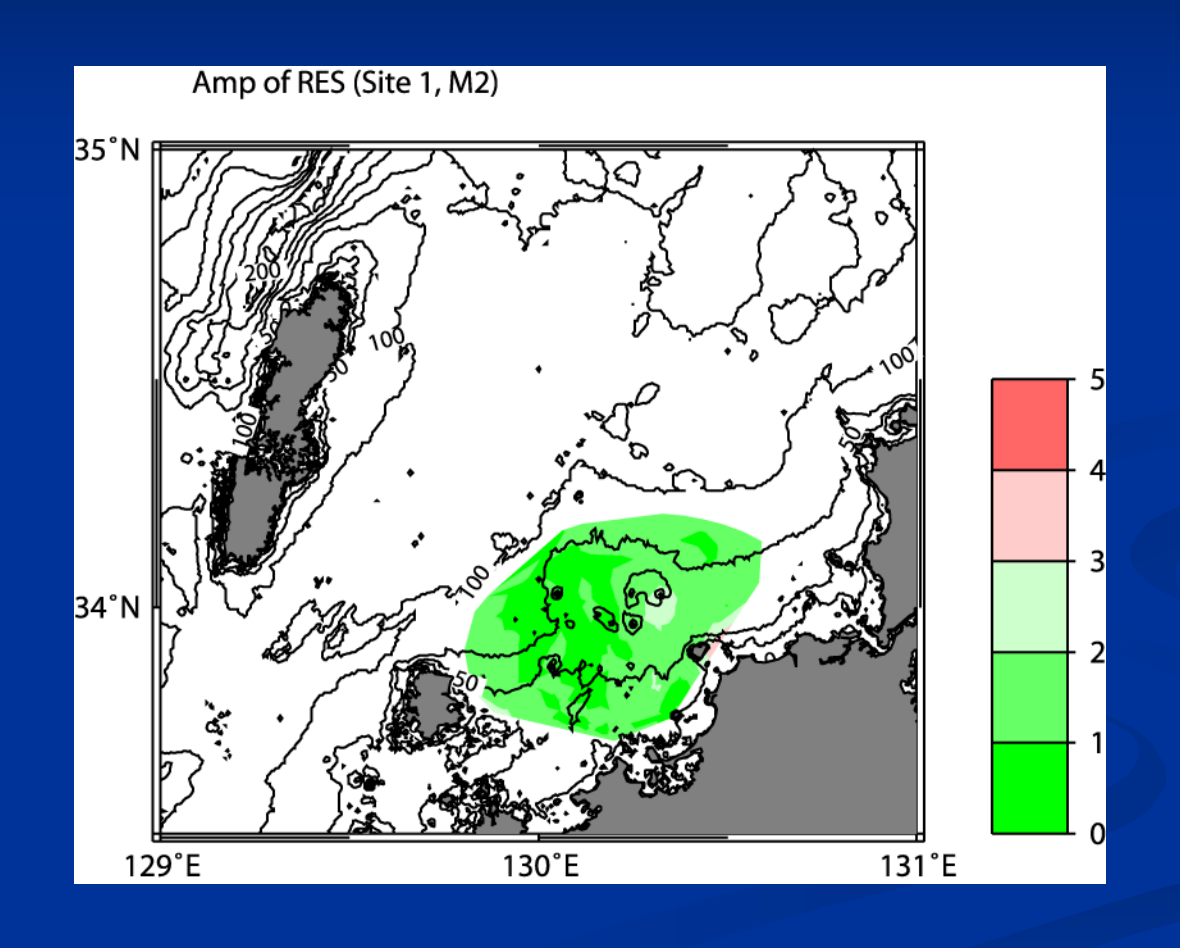
博多の M2 潮位 季節変動割合 2~2.5 % **の**変動

> レーダー計測潮流に 同様の変動がみえるか?

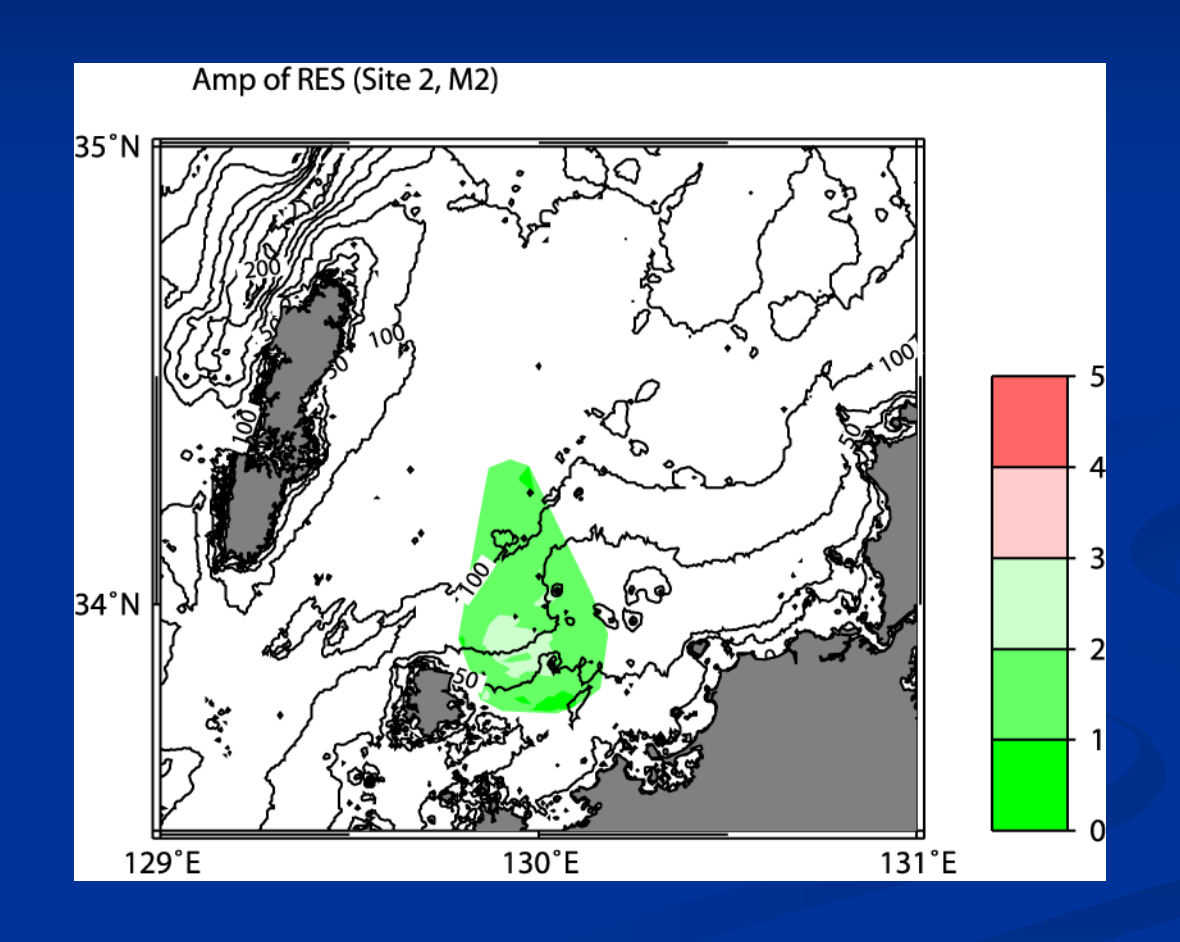
視線方向 M2 潮流振幅の季節変動の一例



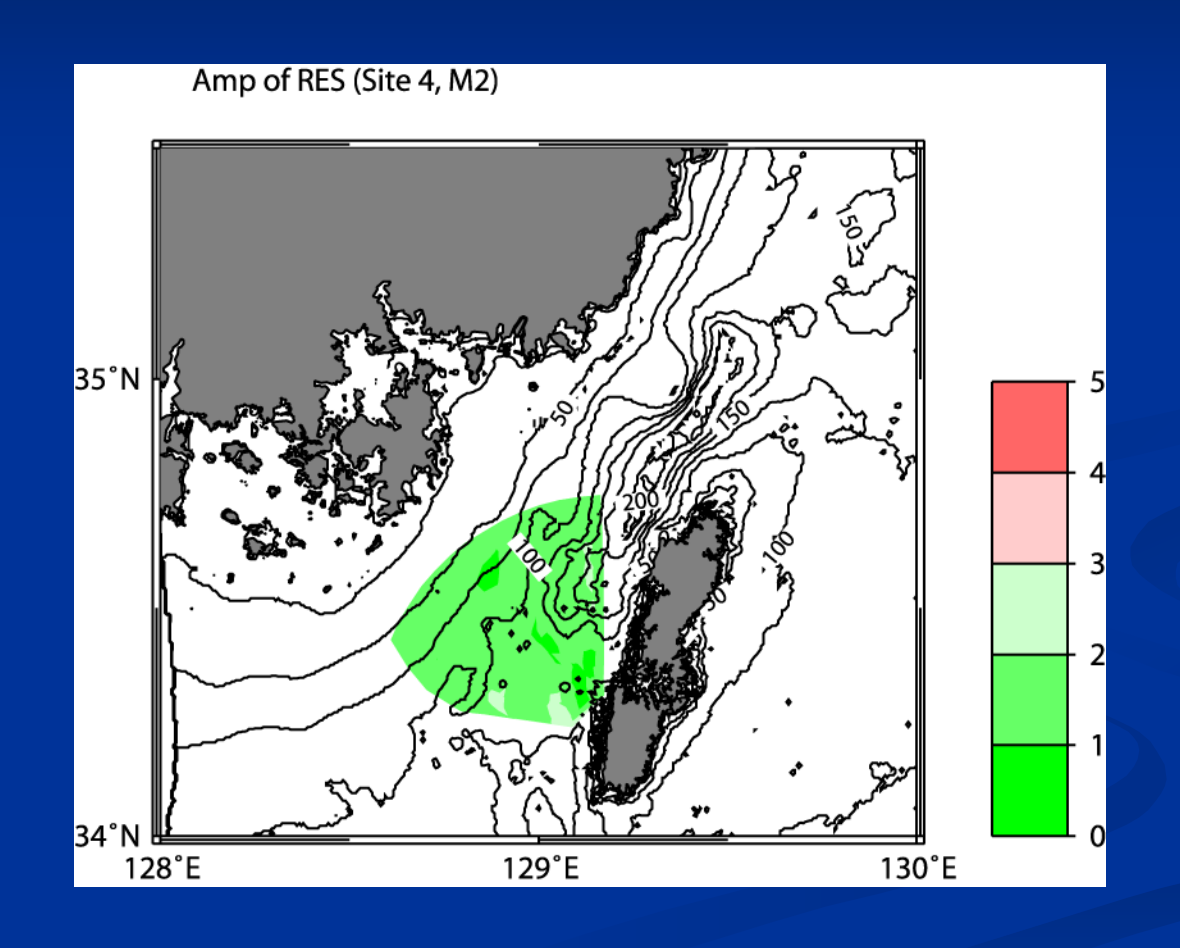
M2 潮流季節変動振幅(志賀島, Codar)



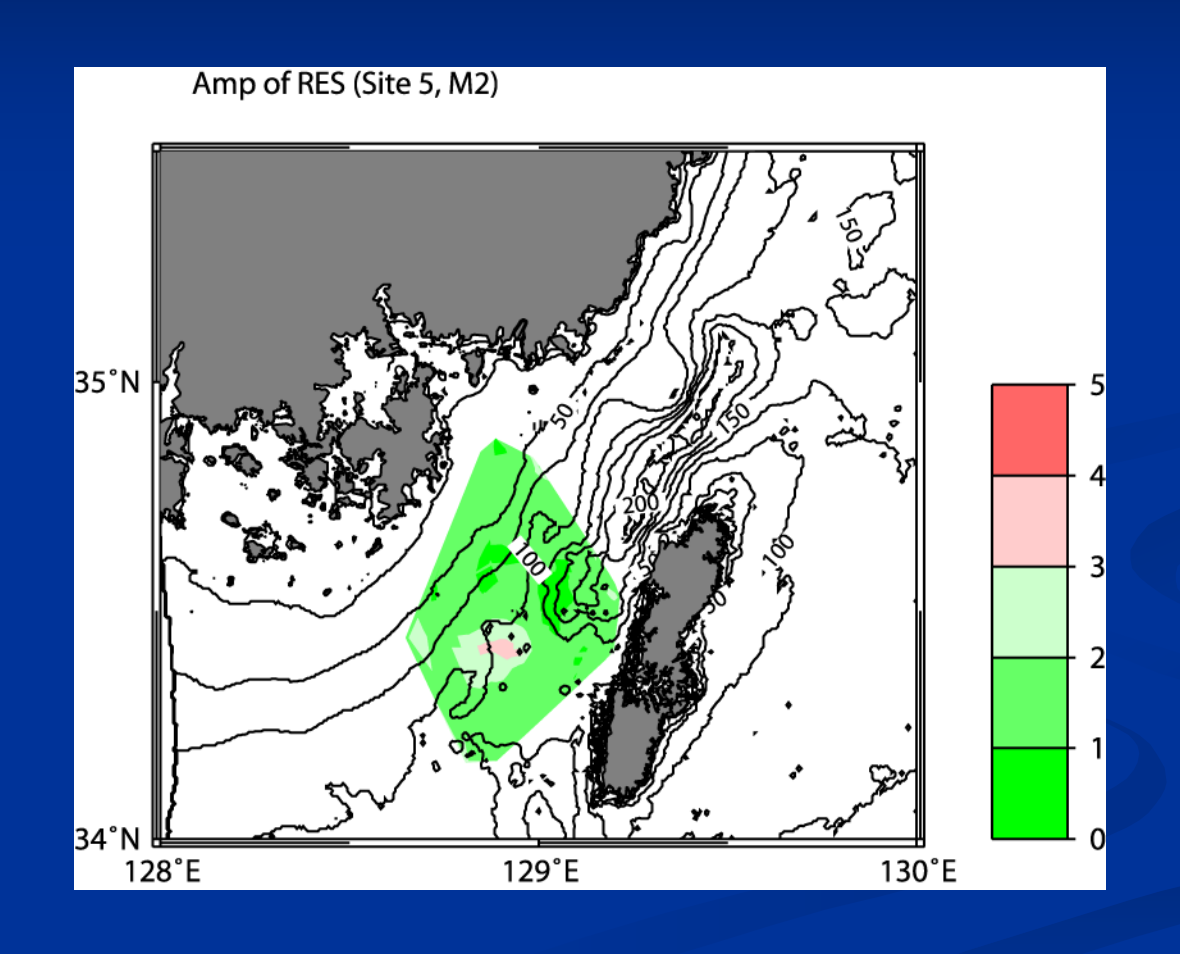
M₂ 潮流季節変動振幅(赤瀬鼻, Codar)



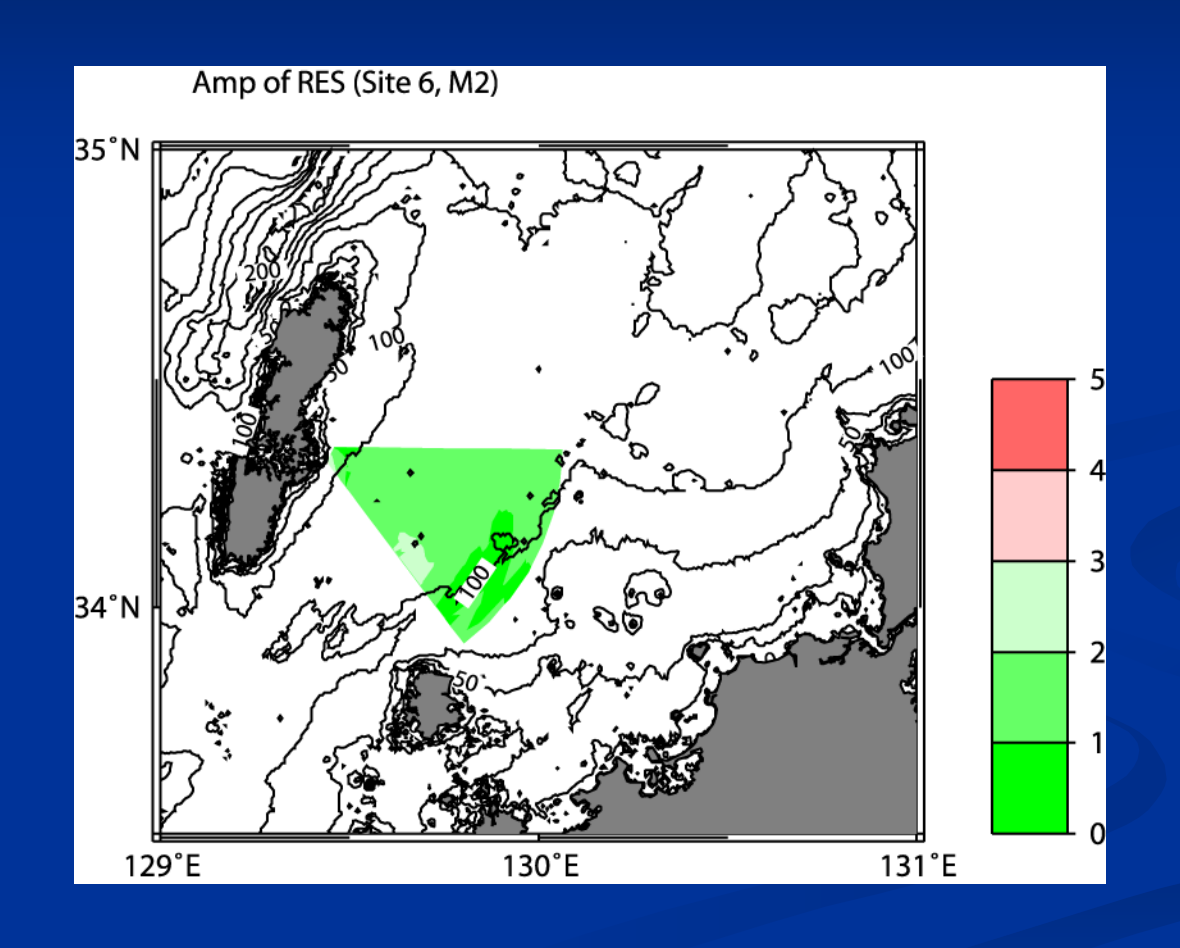
M2 潮流季節変動振幅(椎根, Codar)



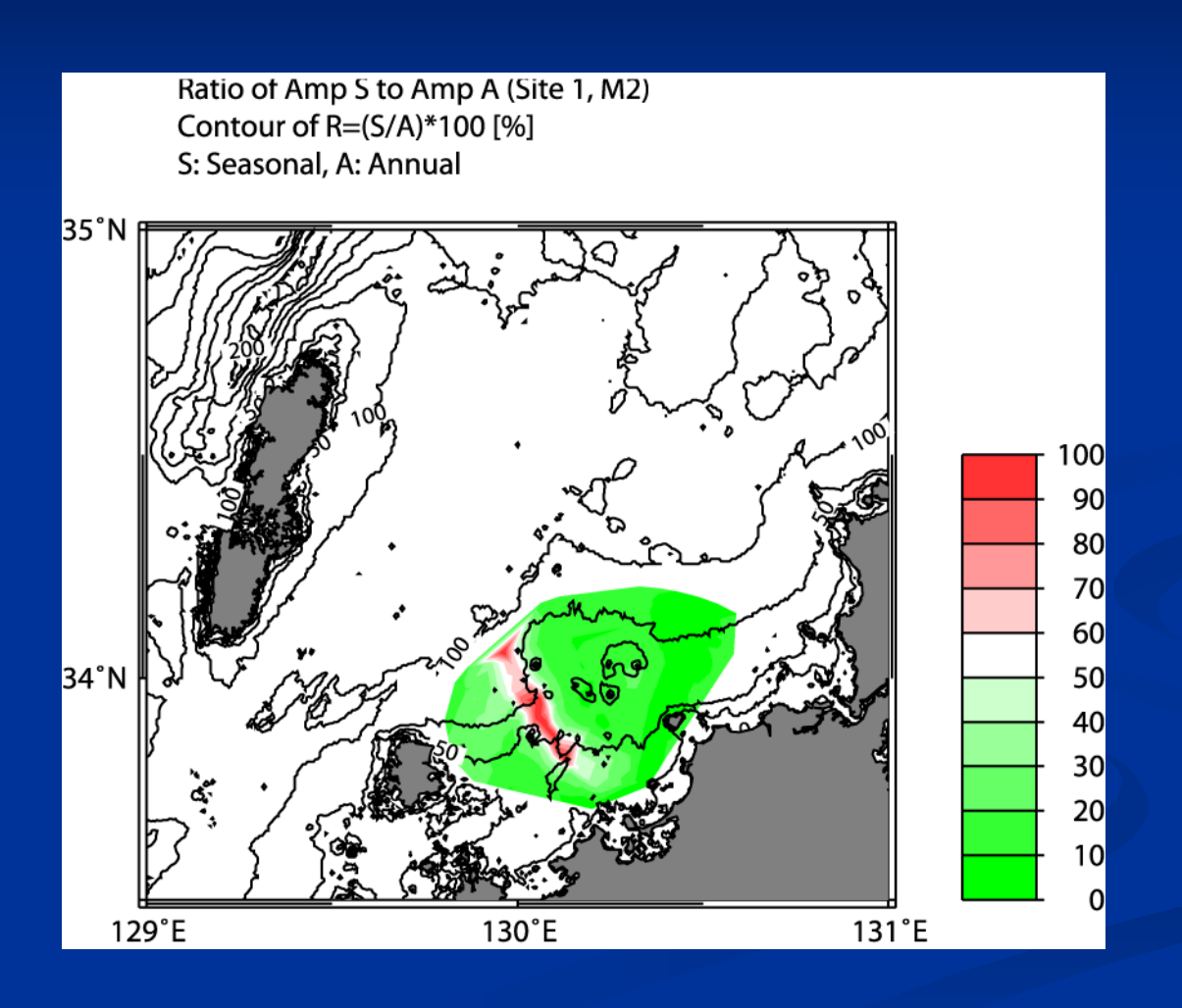
M2 潮流季節変動振幅(青海, Codar)



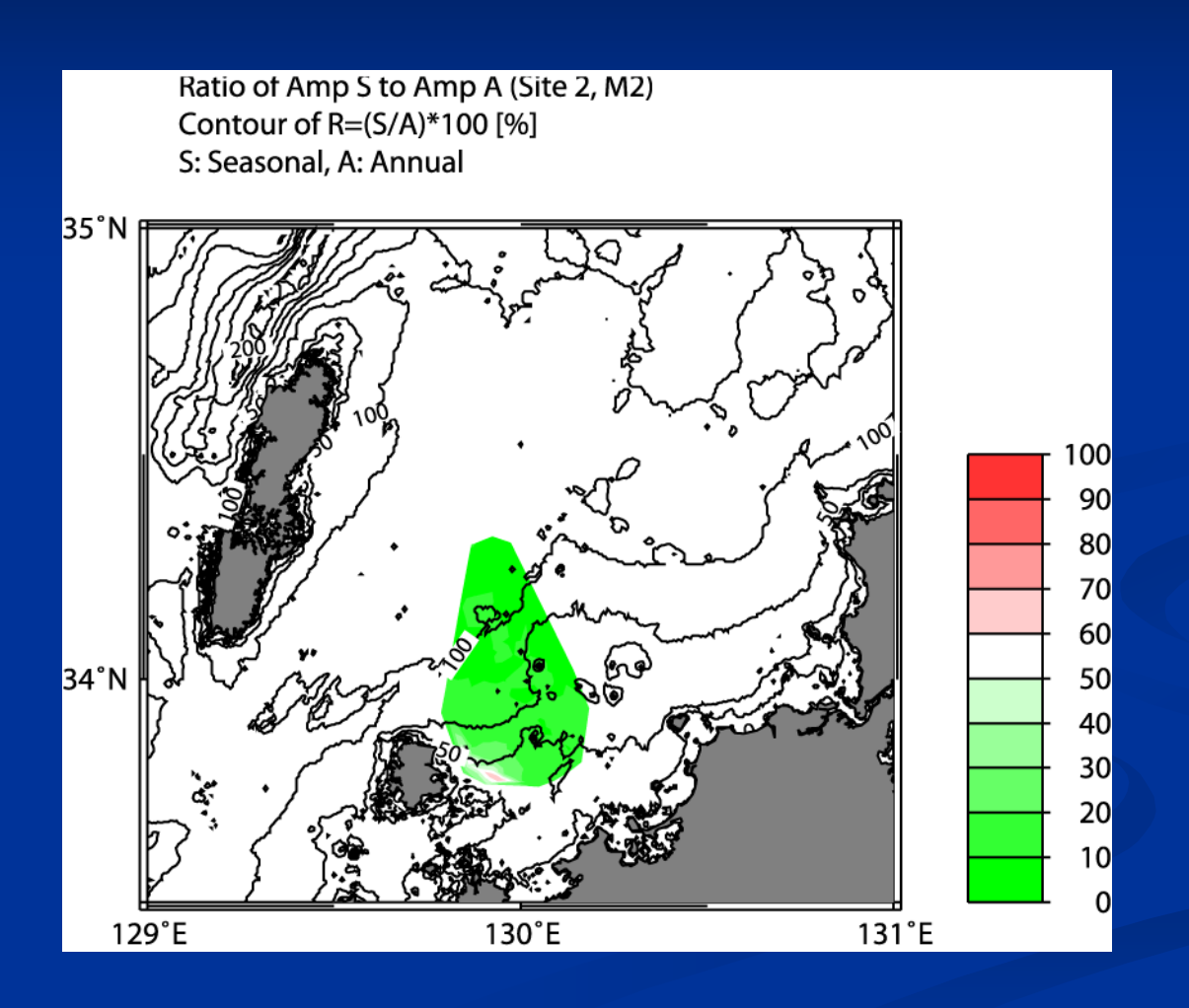
M2 潮流季節変動振幅(赤島, NJRC)



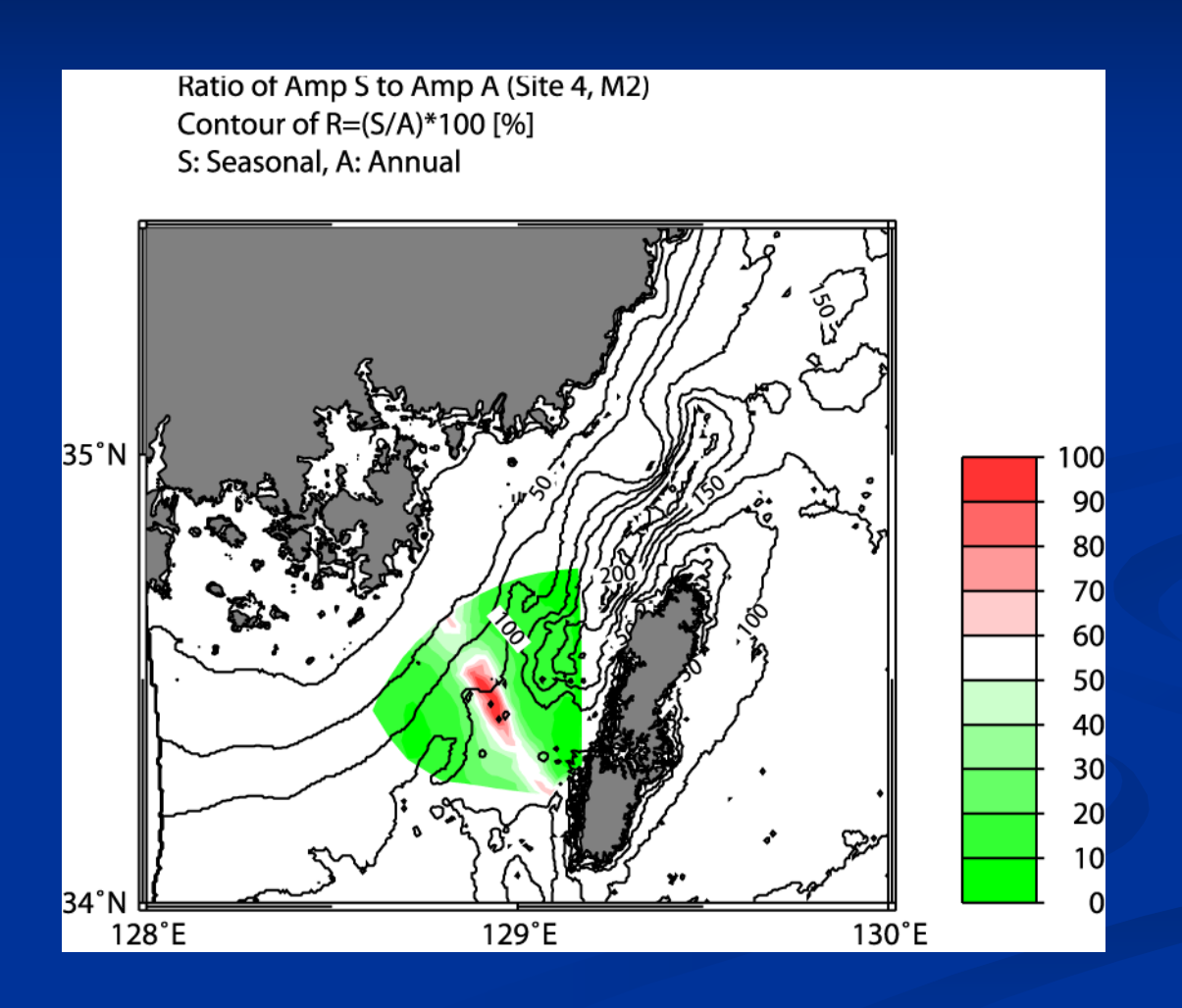
M2 潮流季節変動振幅(志賀島, Codar)



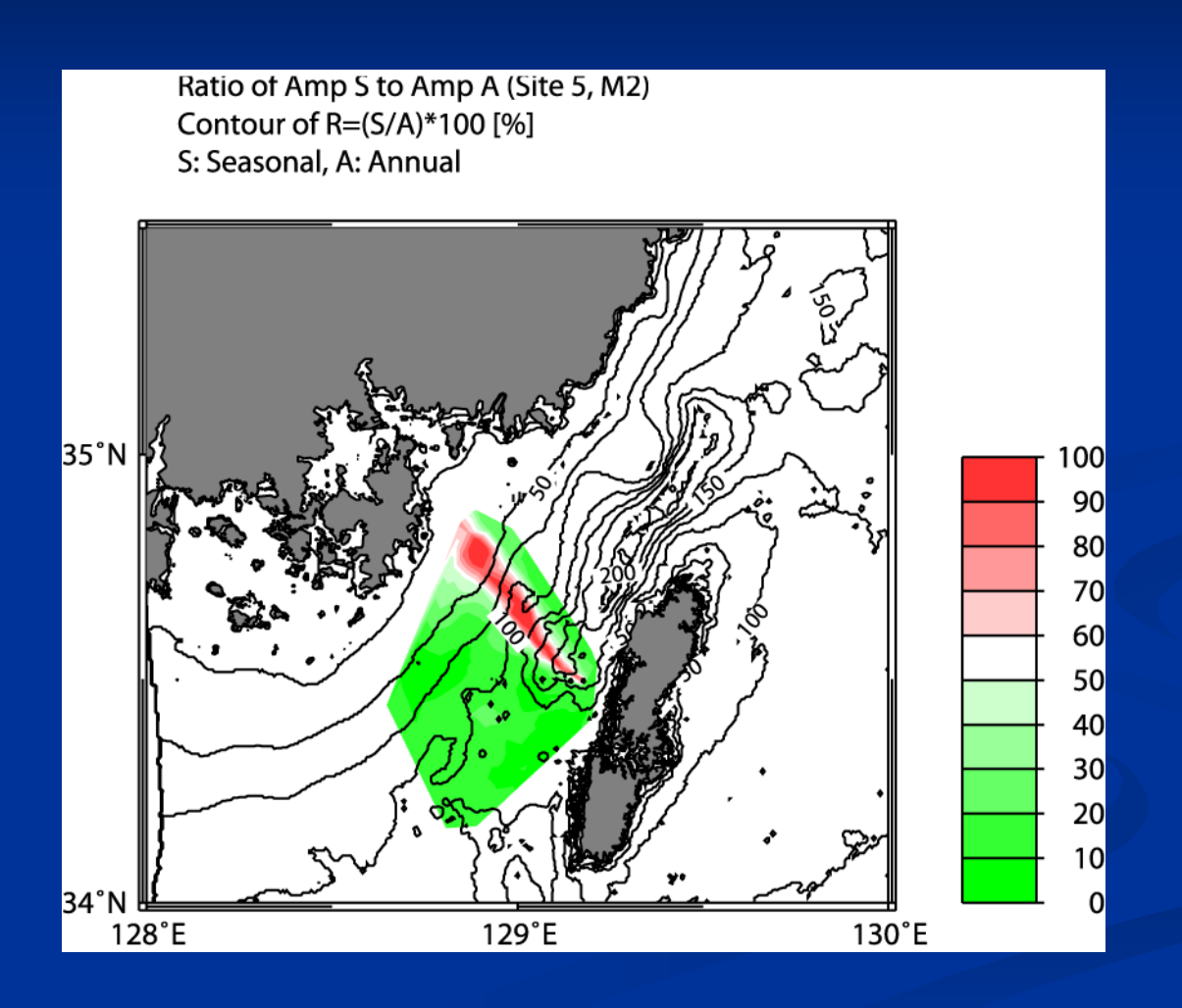
M₂ 潮流季節変動割合(赤瀬鼻, Codar)



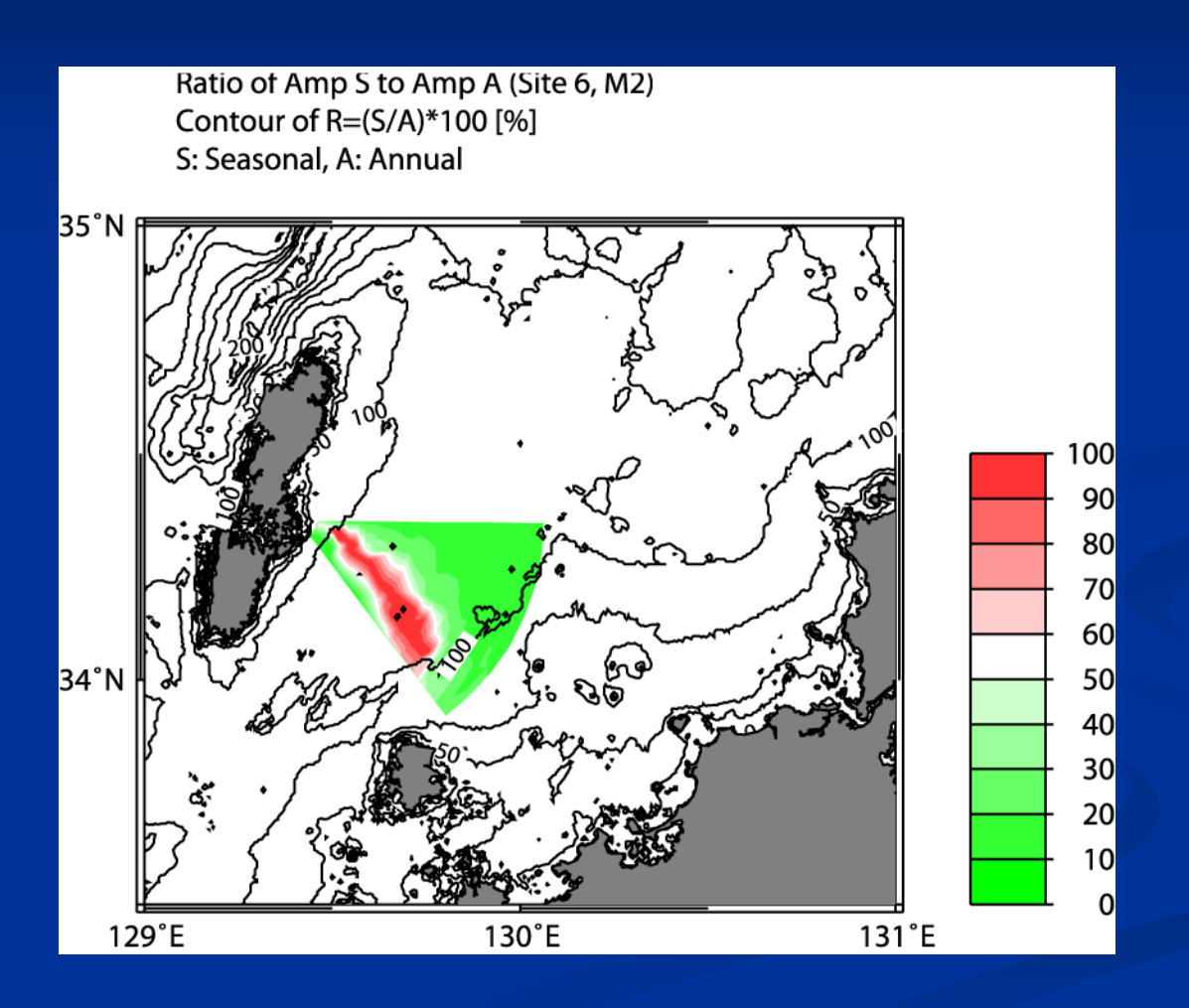
M2 潮流季節変動割合(椎根, Codar)



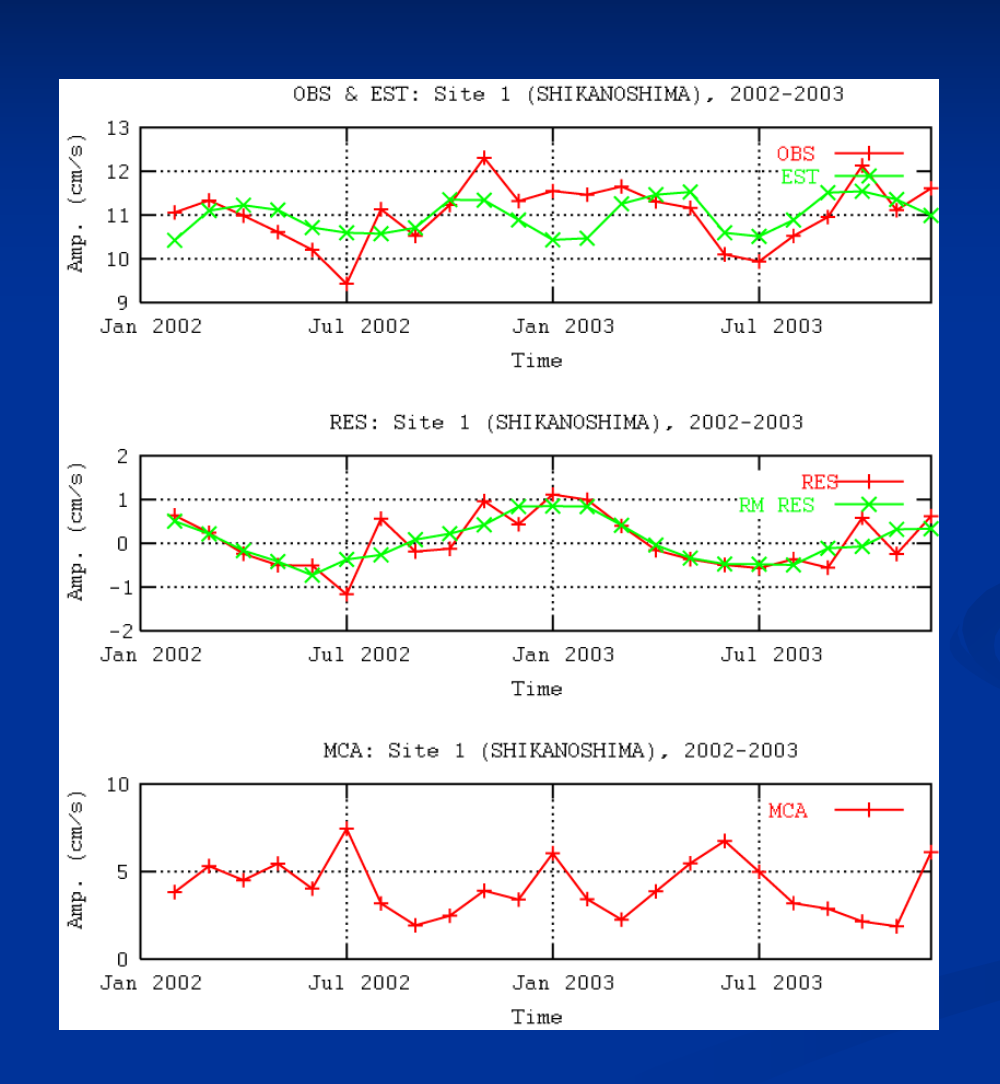
M2 潮流季節変動割合(青海, Codar)



M₂ 潮流季節変動割合(赤島, NJRC)

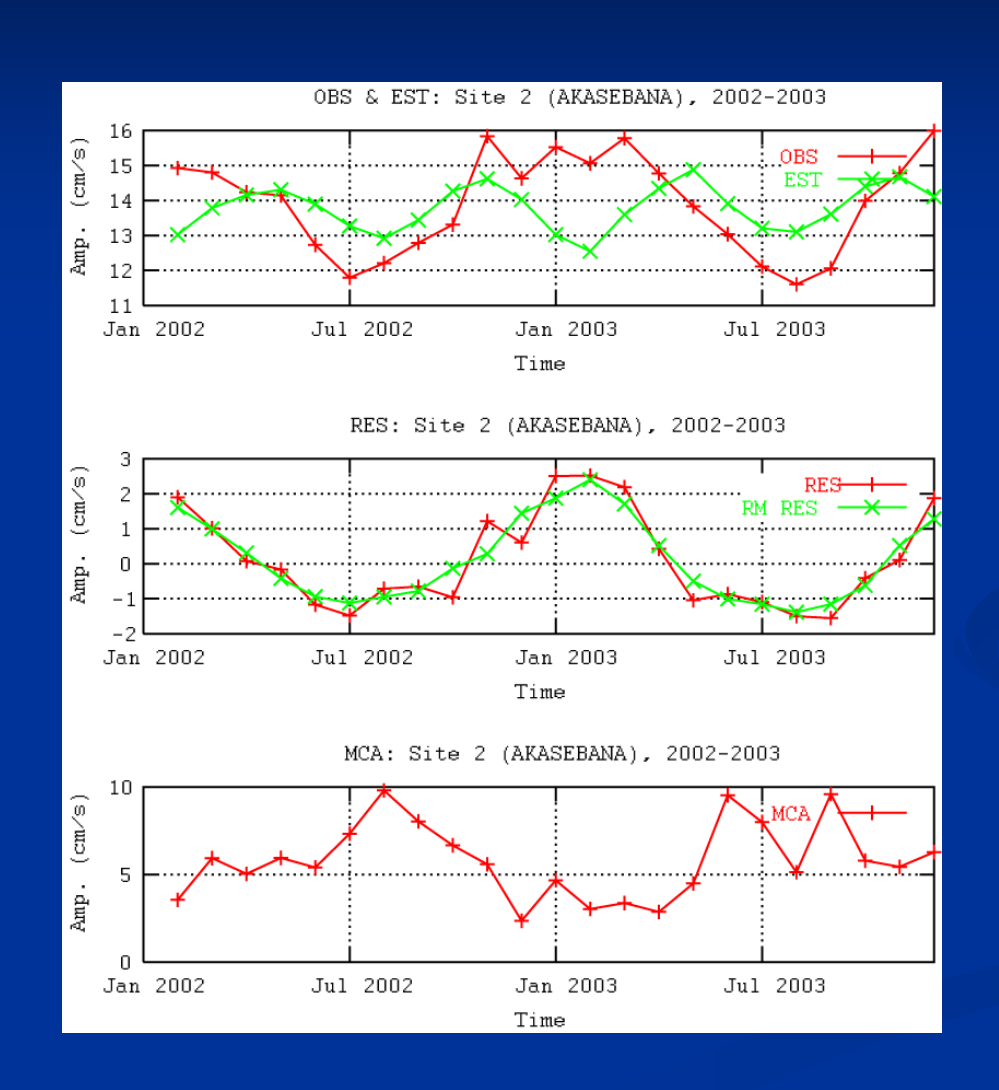


面平均 M₂ 潮流季節変動(志賀島, Codar)



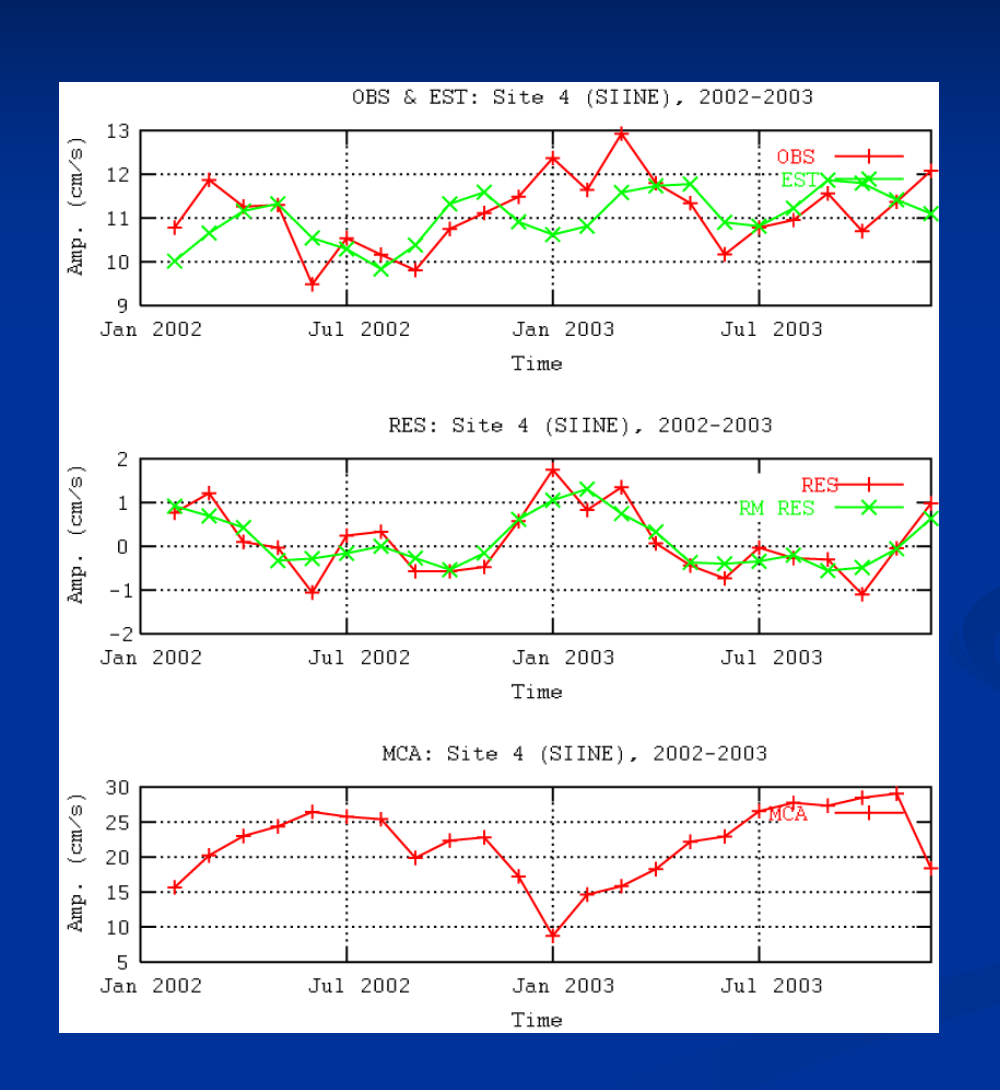
季節変動振幅 0.45 cm/s 季節変動割合 4.2 %

面平均 M₂ 潮流季節変動(赤瀬鼻, Codar)



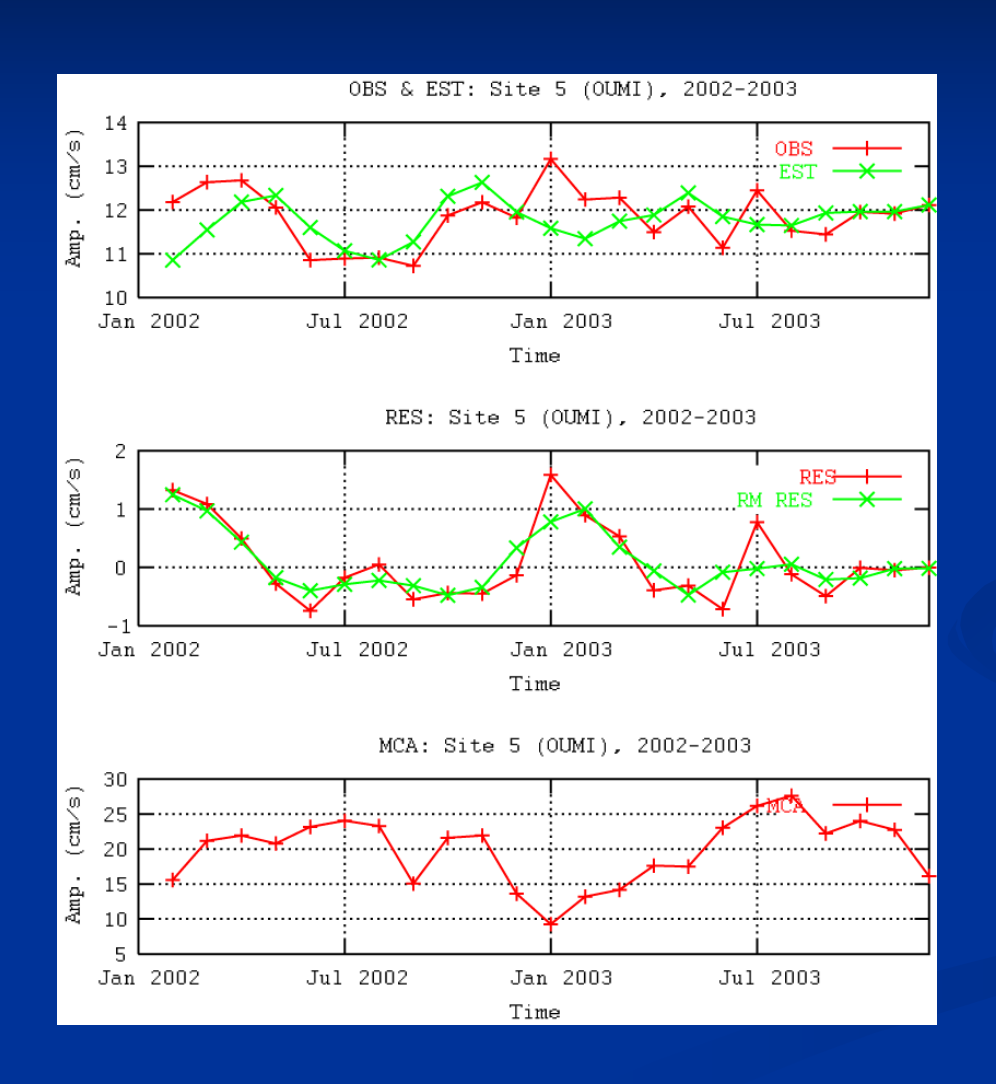
季節変動振幅 1.1 cm/s 季節変動割合 8.3 %

面平均 M₂ 潮流季節変動(椎根, Codar)



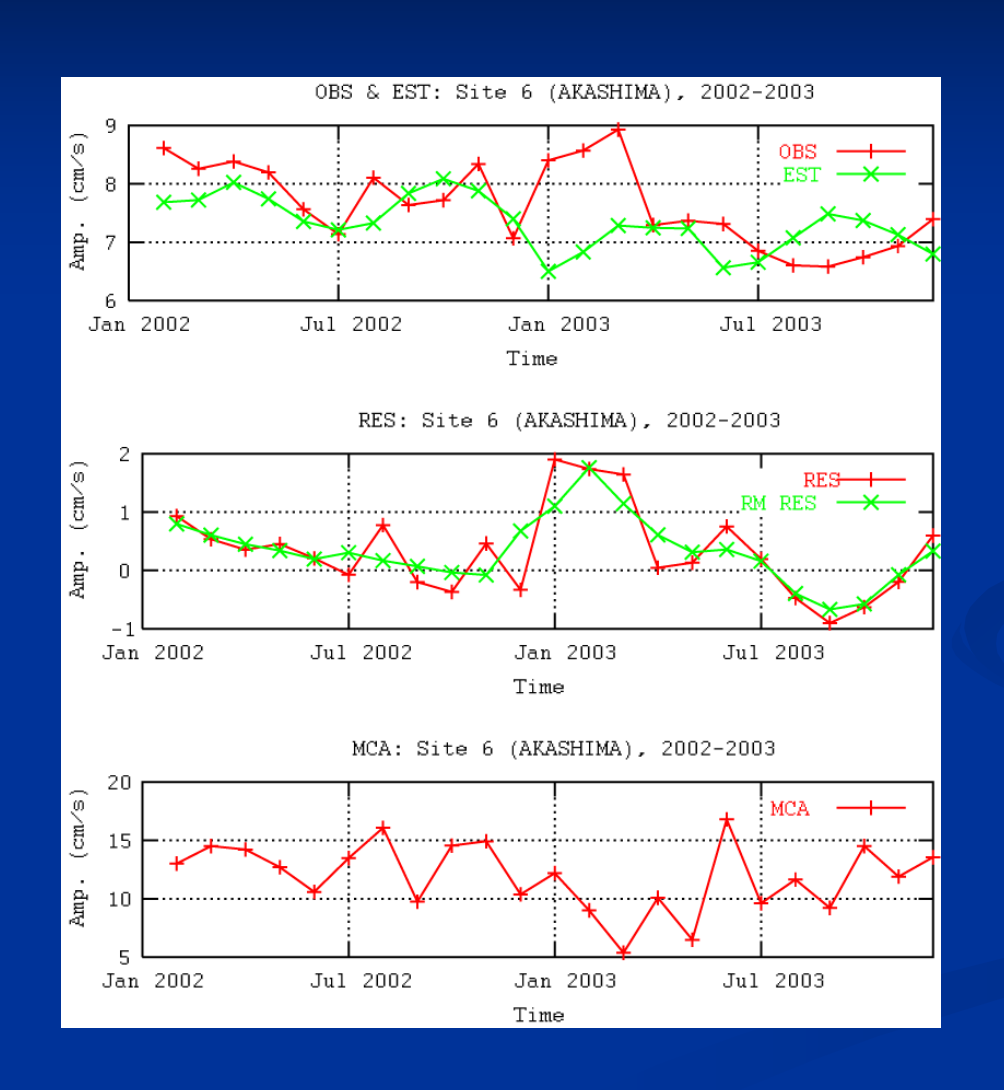
季節変動振幅 0.57 cm/s 季節変動割合 5.1 %

面平均 M_2 潮流季節変動 (青海, Codar)



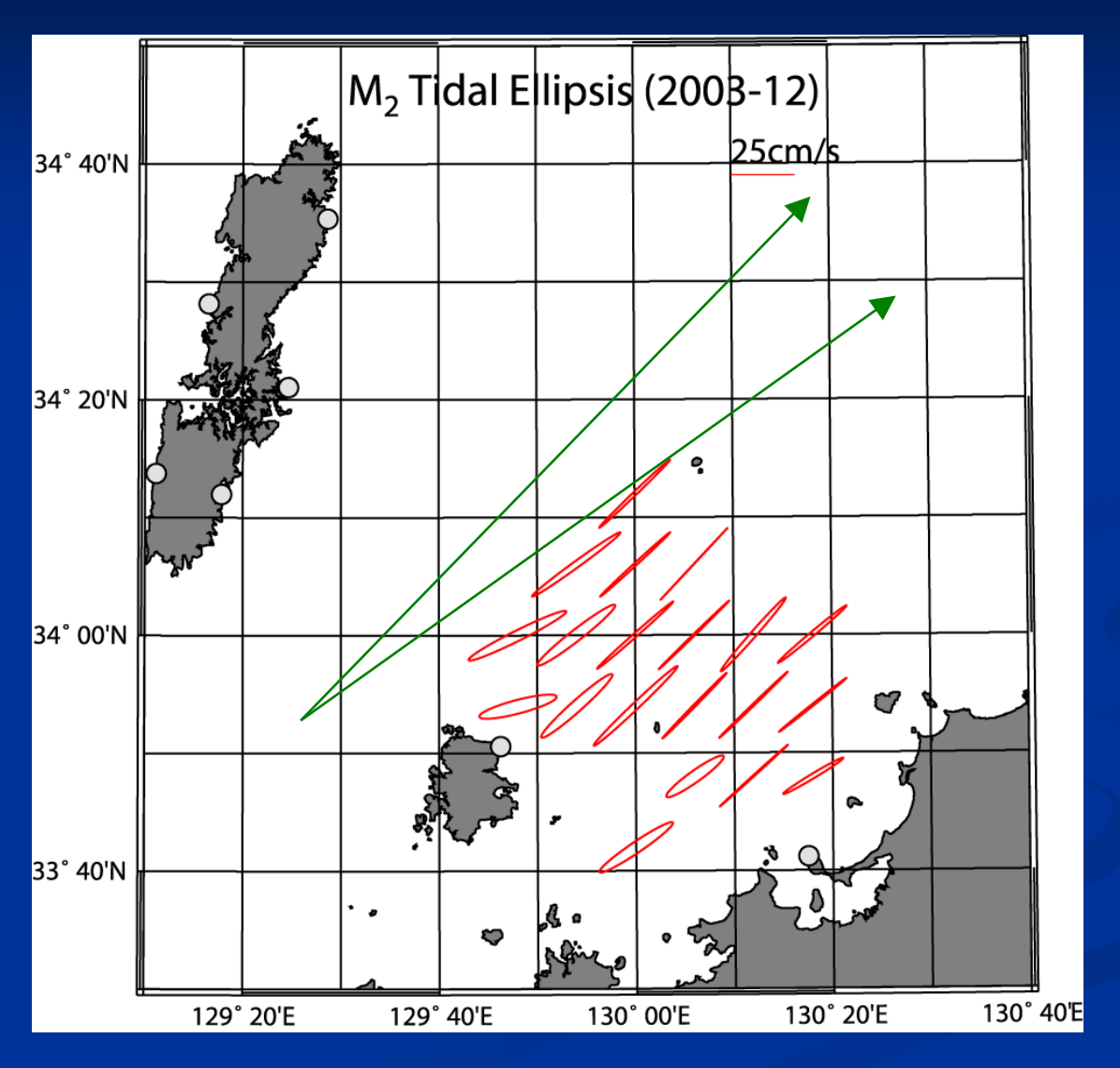
季節変動振幅 0.49 cm/s 季節変動割合 4.2 %

面平均 M₂ 潮流季節変動(赤島, NJRC)



季節変動振幅 0.63 cm/s 季節変動割合 8.7 %

M₂ 潮流楕円の季節変動



まとめ: M2 潮流の季節変動

- M2 潮位と同様の季節変動と思しきものが レーダー計測による M2 潮流にもみられた
- 潮流楕円でみると、 振幅と同時に長軸方位も変化しているようにみえる
- 原因はなにか?
- ■定量的な評価?